



# IX Reunión Científica GEIO 2024 Osteomielitis

Grupo de Estudio de Infecciones Osteoarticulares

14 de marzo 2024

 Hospital del Mar  
Barcelona

# MESA 1: OSTEOMIELITIS DE HUESO LARGO

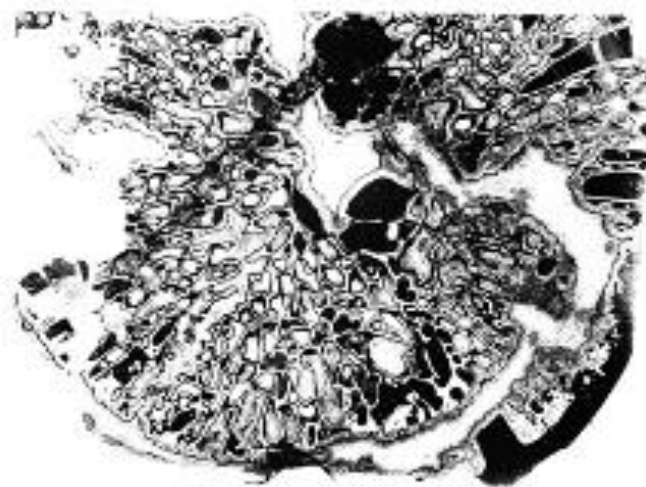
## ESTADO ACTUAL EN EL MANEJO DE LA

## OSTEOMIELITIS CRÓNICA DE HUESO LARGO EN

## ADULTOS



Dr. José Manuel Lomas Cabezas  
Unidad Clínica de Enfermedades Infecciosas, Microbiología y Parasitología  
Hospital Universitario Virgen del Rocío. Sevilla



Moodie RL. An introduction to the ancient evidences of disease. Illinois: University of Illinois Press, 1923:243-82.

# Agenda

Revisión histórica

Patogénesis

Clasificación

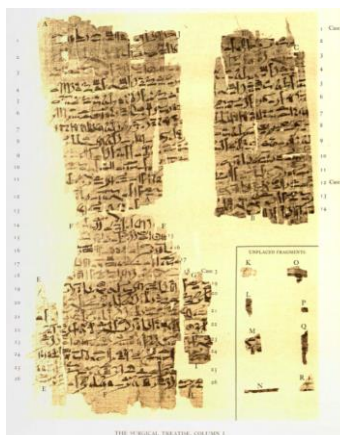
Herramientas diagnósticas

Antibioterapia

sistémica/local

# ASPECTOS HISTÓRICOS

## THE EDWIN SMITH SURGICAL PAPYRUS



**Enfriamiento** de los huesos (Albukasis; 936-1013)

**Corrupción** de los huesos (Avicena; 980-1037)

**Abscessus in medulla** (Bromfield; 1773)

**Necrosis ósea** (Gross; 1830)

**Carbunco del hueso** (Pasteur; 1860)

**Osteomielitis** (Nélaton; 1844)

Breasted JH. *The Edwin Smith Surgical papyrus*. Chicago: The University of Chicago Press; 1930.

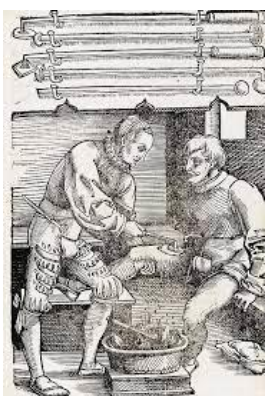
Nélaton A. *Recherches Sur L'affection tuberculeuse des os*. Thesis, Paris Faculty, 1836.

# Manejo médico histórico de la osteomielitis



Antisépticos  
(ácido carbólico)

Lister, 1867



Sulfonamidas  
1935, Domagk

*Penicillin, Miracle Drug,  
Soon Out In Patent Forms;  
But Best See Doctor First*

Bacteriófago  
D'Herrelle, Albee,  
Paterson 1930

1940

Streptomicina, 1944  
Bacitracina, 1945  
Tetraciclinas, 1948  
Eritromicina, 1953  
Penicilinas sintéticas, 1957  
Cefalosporinas, 1957  
Quinolonas, 1962

Terapia antibiótica combinada  
Síntesis elevadas en CEC  
Antibioterapia local  
Uso de anticoagulantes  
Gammaglobulina

# Manejo quirúrgico histórico de la osteomielitis



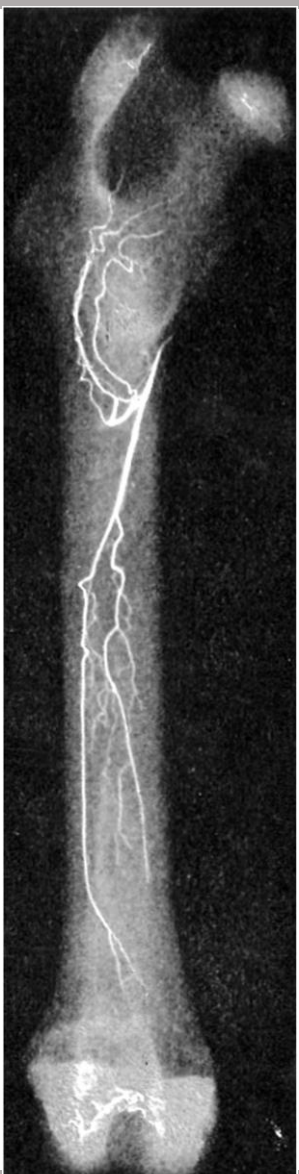
**Eradicación del hueso necrótico**

Avicena, siglo IX



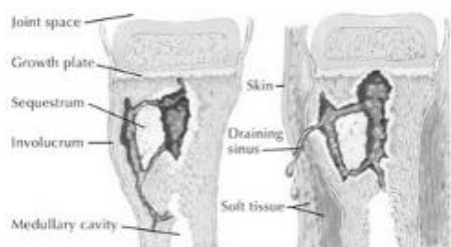
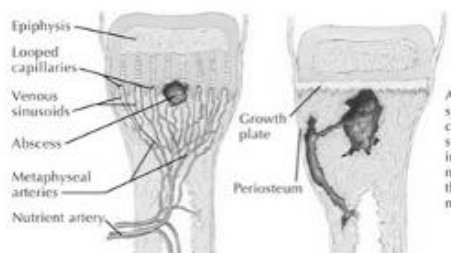
PATOGÉNESIS y  
CLASIFICACIÓN  
de la  
osteomielitis crónica

# PATOGÉNESIS



## Osteomielitis crónica de hueso largo

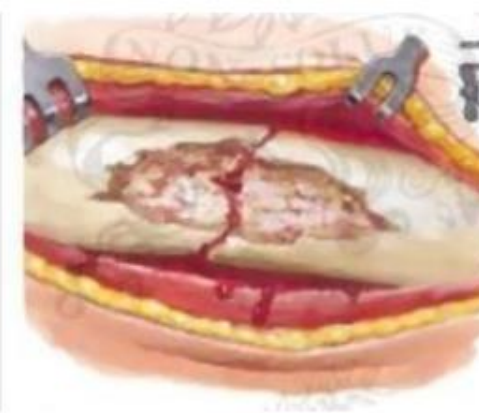
Hematógena



20%

Foco contiguo

(fracturas abiertas, asociada a implantes)



80%

and Mader classification for osteomyelitis

Anatomic type



## CLASIFICACIÓN de la osteomielitis crónica

Osteomyelitis Stage 3: Localized osteomyelitis

Stage 4: Diffuse osteomyelitis

Physiologic class

Local compromise

Systemic compromise

Local & systemic compromise

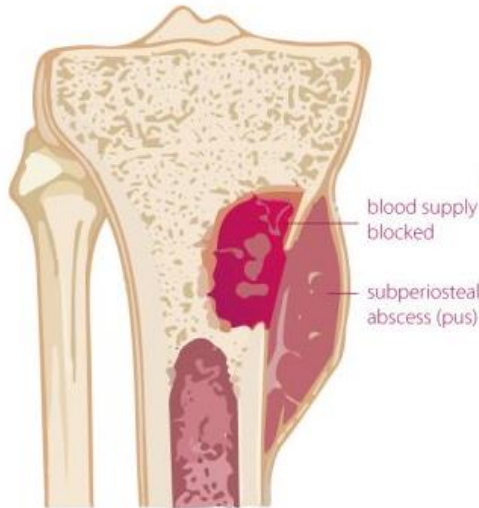
Systemic worse than disease

e.g. diabetes, malnutrition, renal failure, immune suppression/deficiency, extremes of age

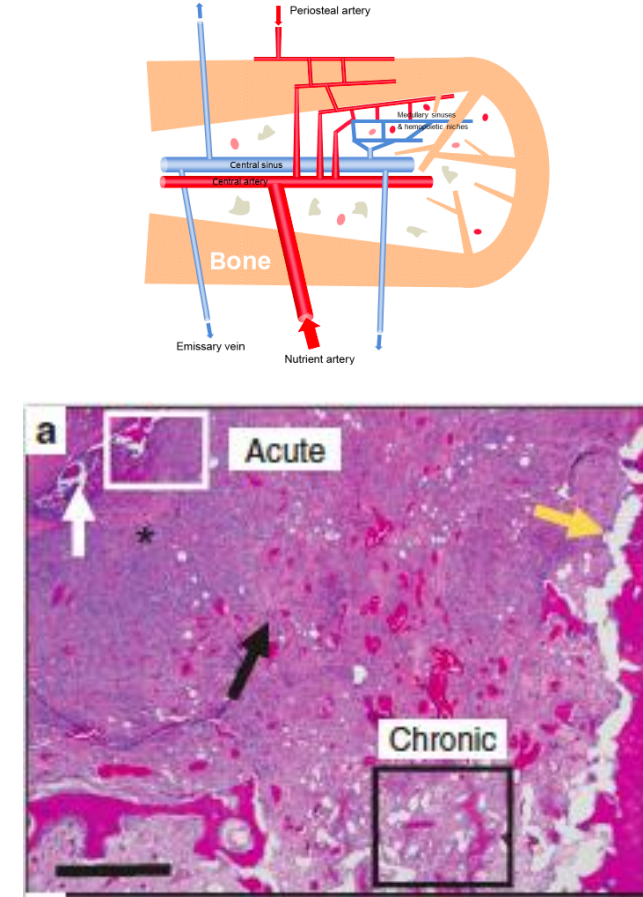
e.g. chronic lymphoedema, venous stasis, peripheral vascular disease, neuropathy, scarring

# CLASIFICACIÓN “TEMPORAL”

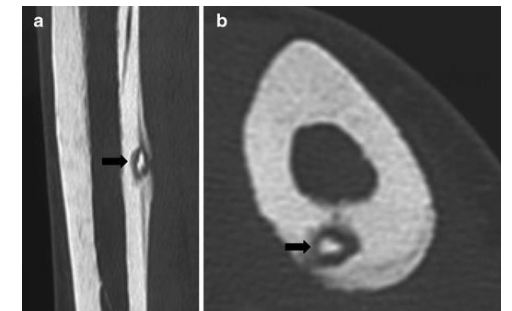
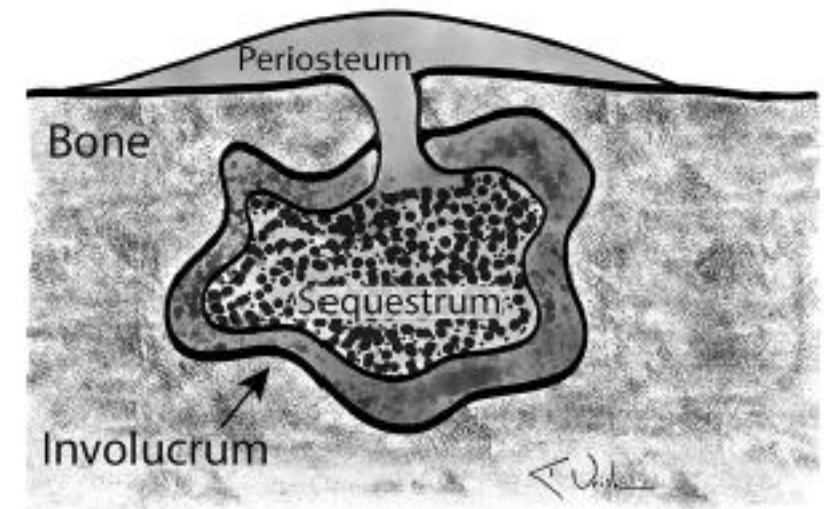
## Osteomielitis aguda



<4-6 semanas



## Osteomielitis crónica

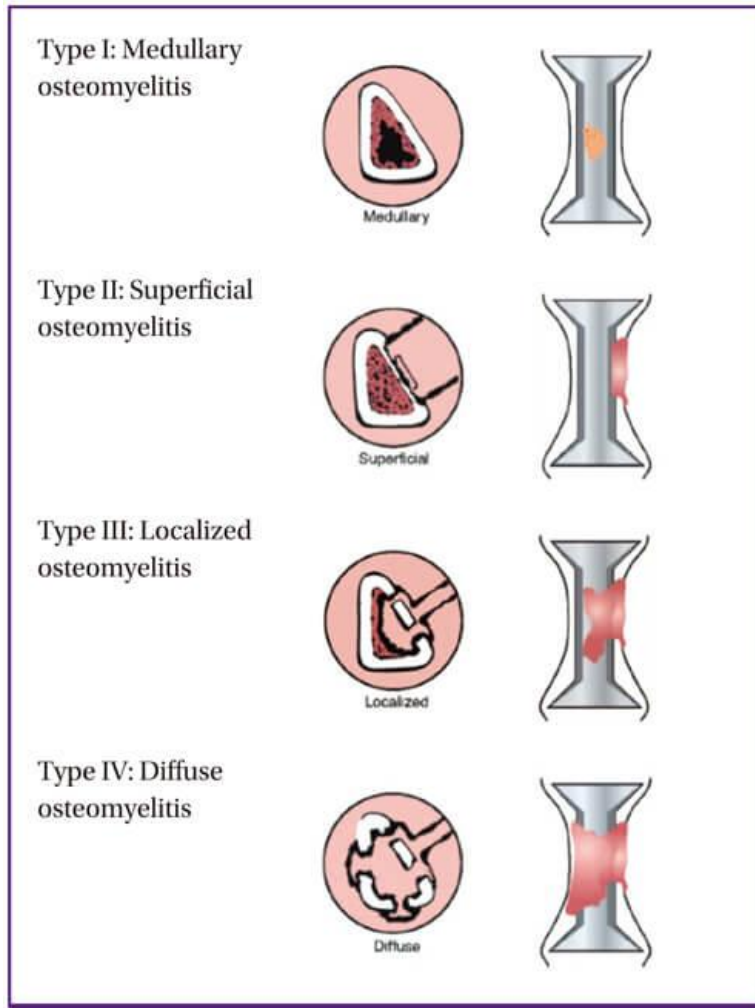


Lazzarini L.. Osteomyelitis in long bones. J Bone Joint Surg Am. 2004 ;86(10):2305-18

Beck-Broichsitter BE,. Current concepts in pathogenesis of acute and chronic osteomyelitis. Curr Opin Infect Dis. 2015 ;28(3):240-5

Brodie, B. C. Pathological researches respecting the diseases of joints. Med Chir. Trans.1813; 4: 210–280.

# CLASIFICACIÓN ANATOMO-FISIOLÓGICA (CIERNY-MADER)



MADER

## Physiological class

A host

B host

C host

Normal host

Systemic compromise (Bs),  
local compromise (Bl), or  
systemic and local compromise (Bls)

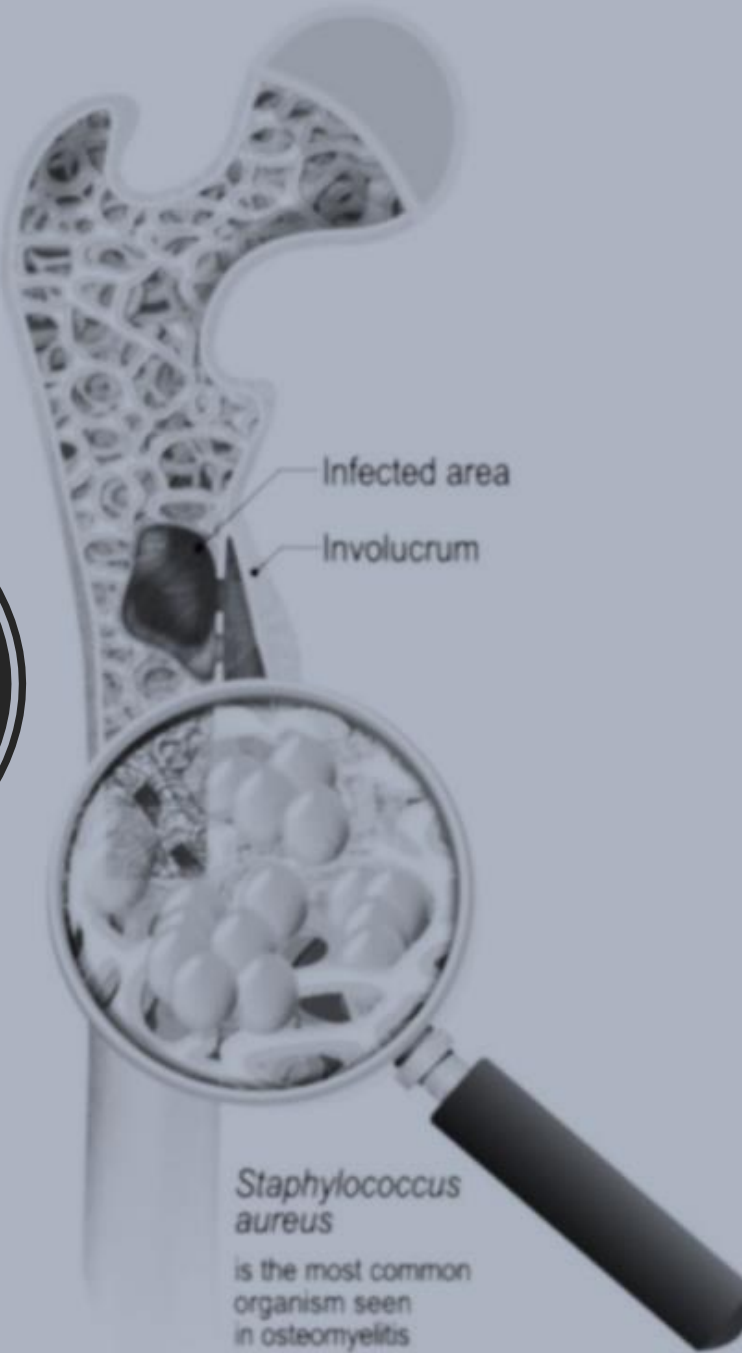
Treatment worse than the disease

Type of compromise	Factors
Systemic (Bs)	Malnutrition Renal, hepatic failure Diabetes mellitus Chronic hypoxia Immune disease Malignancy Extremes of age Immunosuppression or immune deficiency
Local (Bl)	Chronic lymphedema Venous stasis Major-vessel compromise Arteritis Extensive scarring Radiation fibrosis Small-vessel disease Neuropathy Tobacco abuse ( $\geq 2$ packs/d)

# CLASIFICACIÓN BACH

	Bone Involvement	Antimicrobial options	Coverage by soft tissue	Host status
Uncomplicated	<p><b>B<sub>1</sub></b> Cavitory infection without joint involvement (including cortical, medullary and non-segmental cortico-medullary)</p>	<p><b>A<sub>2</sub></b> Unknown / culture negative osteomyelitis</p>	<p><b>C<sub>1</sub></b> Direct closure possible: Plastic surgery expertise not required</p>	<p><b>H<sub>1</sub></b> Well-controlled disease or Patient is fit and well</p>
		<p><b>A<sub>1</sub></b> All isolates:</p> <ul style="list-style-type: none"> <li>Sensitive to ≥ 80% of susceptibility tests and resistant to ≤ 3 susceptibility tests</li> </ul>		
Complex	<p><b>B<sub>2</sub></b> Segmental infection without joint involvement</p>	<p><b>A<sub>2</sub></b> Any isolate:</p> <ul style="list-style-type: none"> <li>Sensitive to &lt; 80% of all susceptibility tests performed</li> <li>Resistant to ≥ 4 susceptibility tests</li> <li>Resistant to antibiotic biofilm antibiotics in the presence of an implant</li> </ul>	<p><b>C<sub>2</sub></b> Direct closure not possible: Plastic surgery expertise required</p>	<p><b>H<sub>2</sub></b> Patient with poorly controlled comorbidity or Severe comorbidity (with evidence of end-organ damage) or Recurrent osteomyelitis after previous debridement</p>
	<p><b>B<sub>3</sub></b> Any bone infection with associated joint involvement</p>			
Limited options		<p><b>A<sub>1</sub></b> Any isolate:</p> <ul style="list-style-type: none"> <li>Sensitive to 0 or 1 susceptibility test performed</li> </ul>		<p><b>H<sub>3</sub></b> Unfit for definitive surgery despite specialist intervention or Patient declines surgery</p>

# MICROBIOLOGÍA de la osteomielitis crónica



# MICROORGANISMOS

2001-2004  
166 pacientes

Cultivo negativo 34%  
Polimicrobiano 29%

**SAMS 22%**

**SAMR 10%**

ECN16%

Enterobacterales 16%

Anaerobios 9%

*Streptococcus* spp. 7%

*Enterococcus* spp 5%

*P aeruginosa* 5%



2019-2020  
141 pacientes

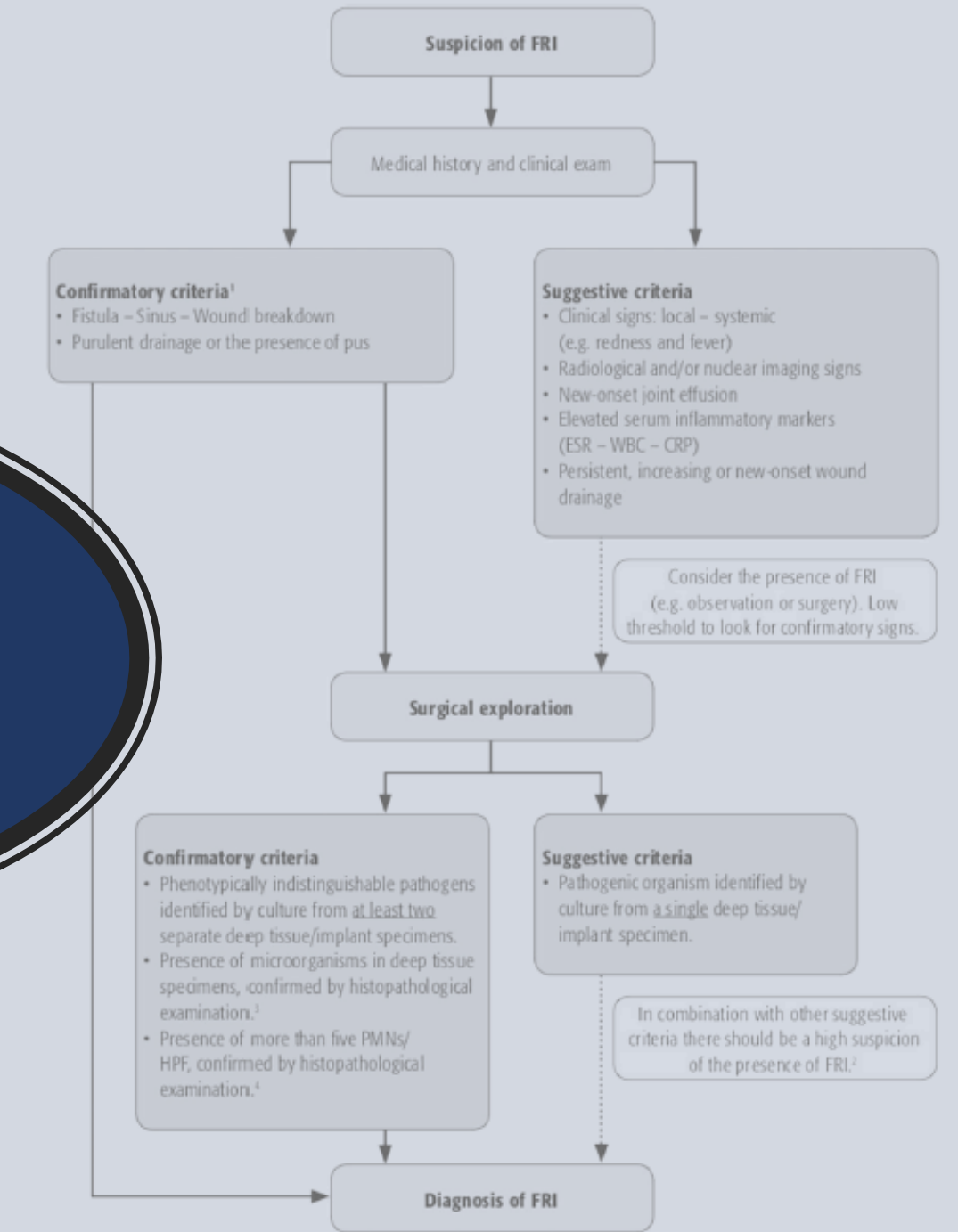
Cultivo negativo 25%

Hospital primario  
72 (51.1%)<sup>1</sup>

Growth from Referral Microbiology Samples	Growth Reported from Intra-Operative Sampling	Number
'Complete match'		
Yes	Same as referral microbiology	16 (18.2%)
No	No growth	6 (6.8%)
'Partial match'		
Yes	Same as referral microbiology with additional isolates	8 (9.1%)
'Non-match'		
No	Significant growth	6 (6.8%)
Yes	Isolates not present on referral microbiology samples	52 (59.1%)

1. Torundas (45%), cirugia previa (28%), biopsia (27%), HC (4%)

# DIAGNÓSTICO de la osteomielitis crónica



# DIAGNÓSTICO DEFINITIVO



**Fístula**

**Drenaje purulento**

**Exploración quirúrgica**

Microorganismo

≥2 muestras separadas

**Pruebas de imagen**

**Histopatología**

# SOSPECHA CLINICA

Cutibacterium acnes,  
Gram-negative bacteria,  
*Mycobacterium* spp.



*Aspergillus* spp.,  
*Candida* spp.,  
*Pseudomonas* spp.,  
*Actinomyces* spp.



Vertebral infection

Gram-negative bacteria,  
*C. acnes*, *Enterococcus* spp.,  
*Mycobacterium tuberculosis*,  
*Candida* spp., *Brucella* spp.



Haematogenous

*Salmonella* spp.,  
*Haemophilus influenzae*,  
*Kingella kingae*



Peri-prosthetic infection

*Enterococcus* spp.,  
*Pseudomonas aeruginosa*,  
*Escherichia coli*



Septic arthritis

*Neisseria gonorrhoeae*,  
*Klebsiella* spp.,  
*Enterobacter* spp.,  
*E. coli*



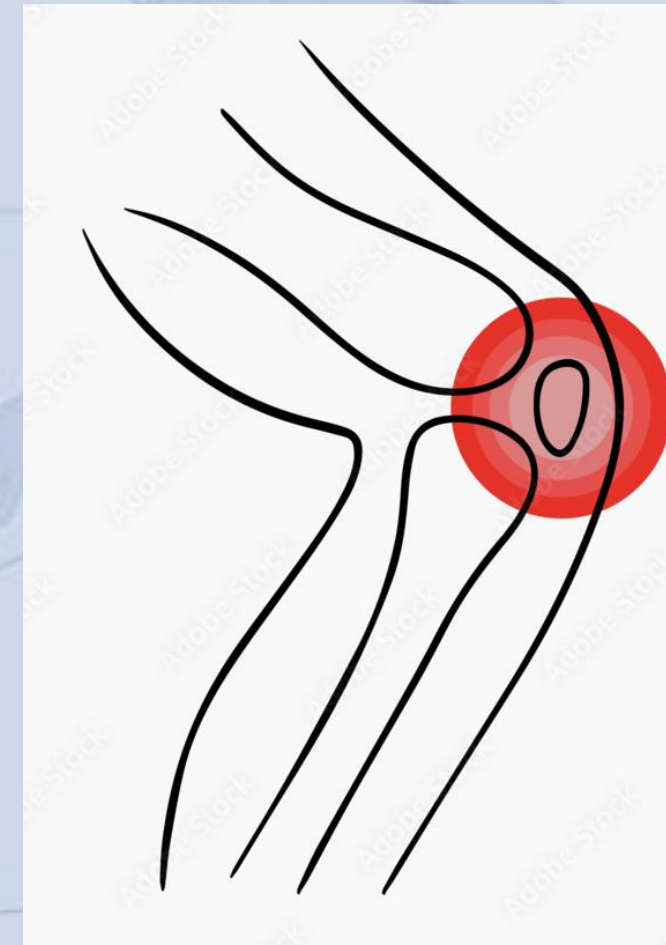
Trauma or fracture related

*P. aeruginosa*,  
*Acinetobacter baumannii*,  
*Enterobacter* spp.,  
*Enterococcus* spp.

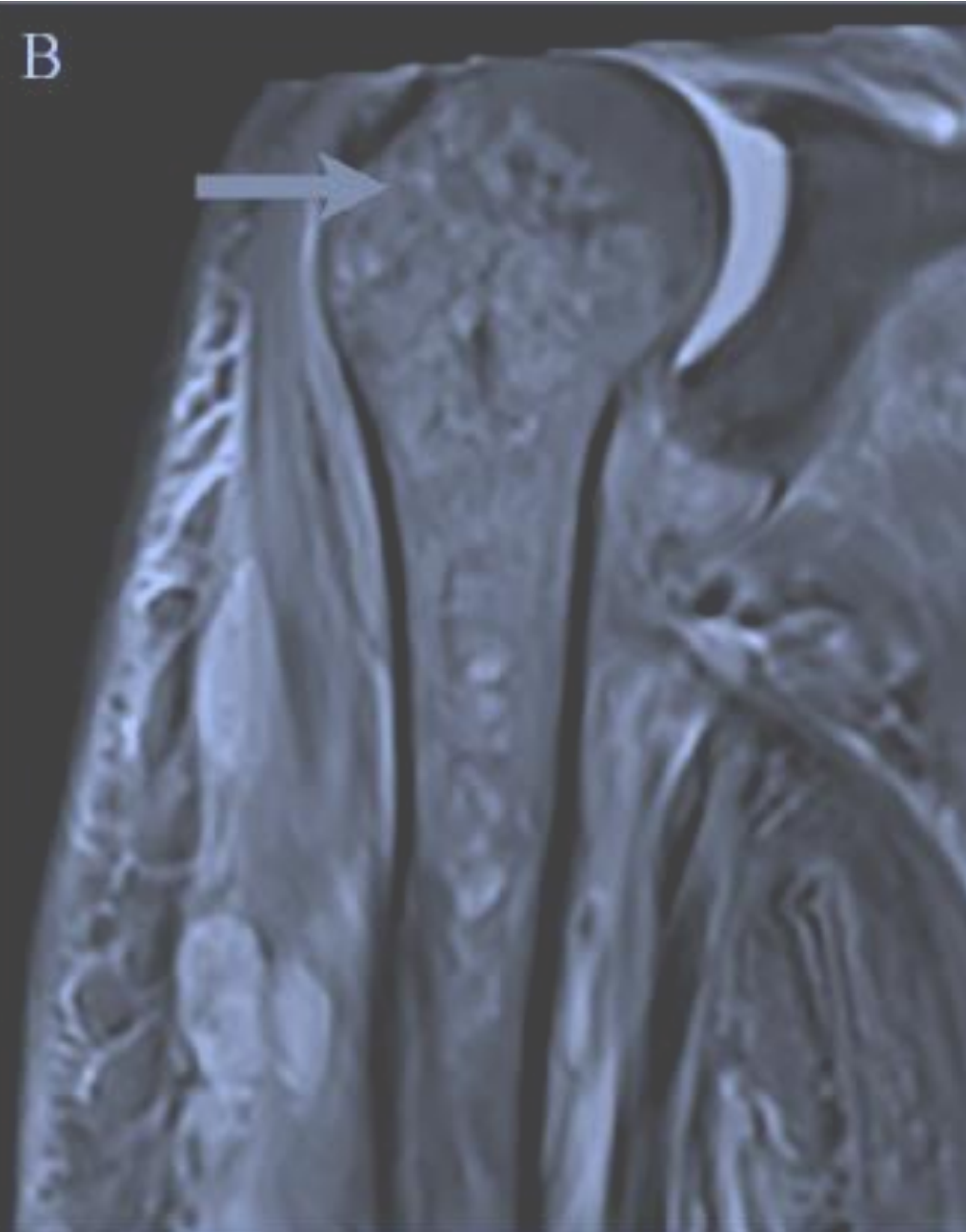
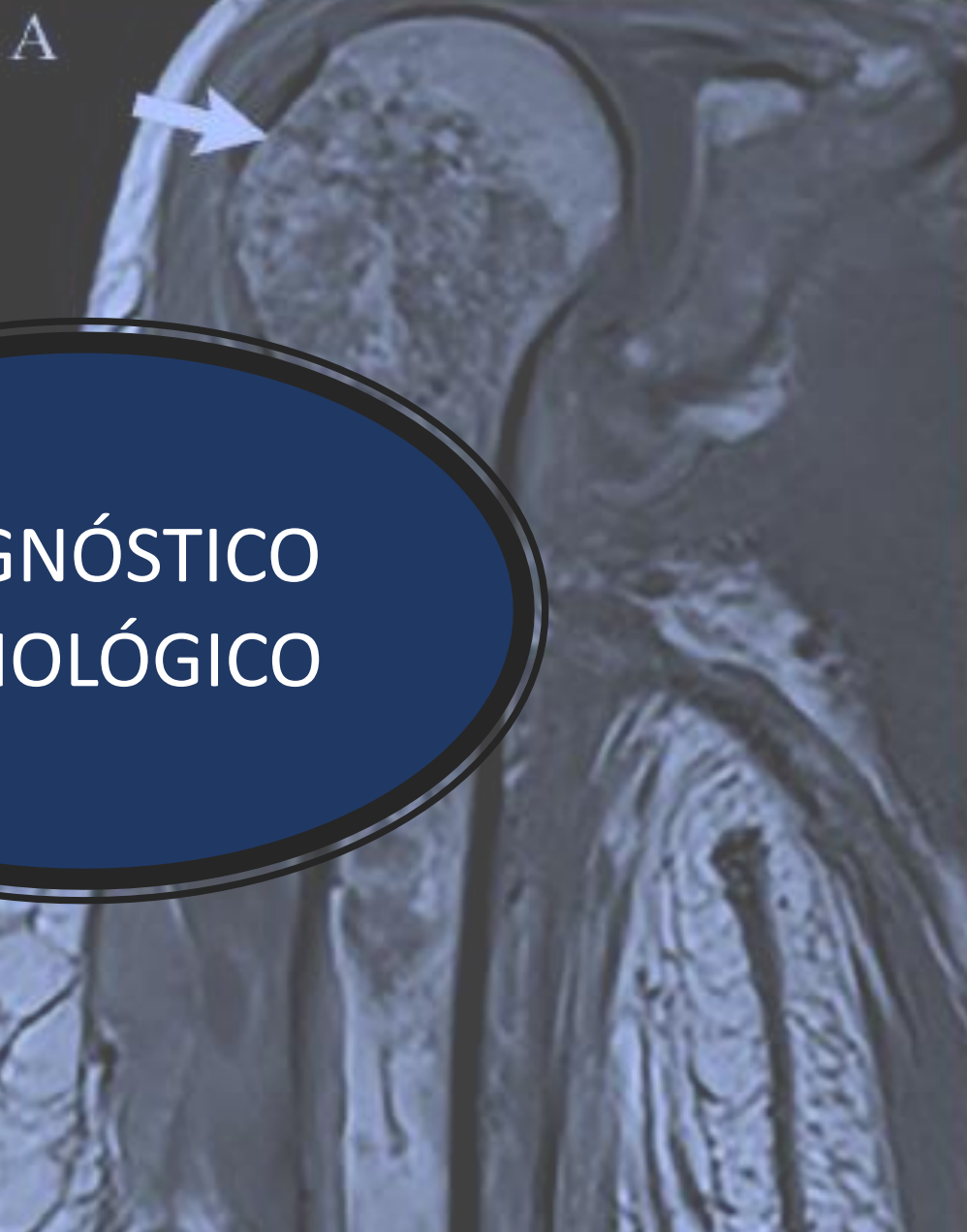


Foot osteomyelitis

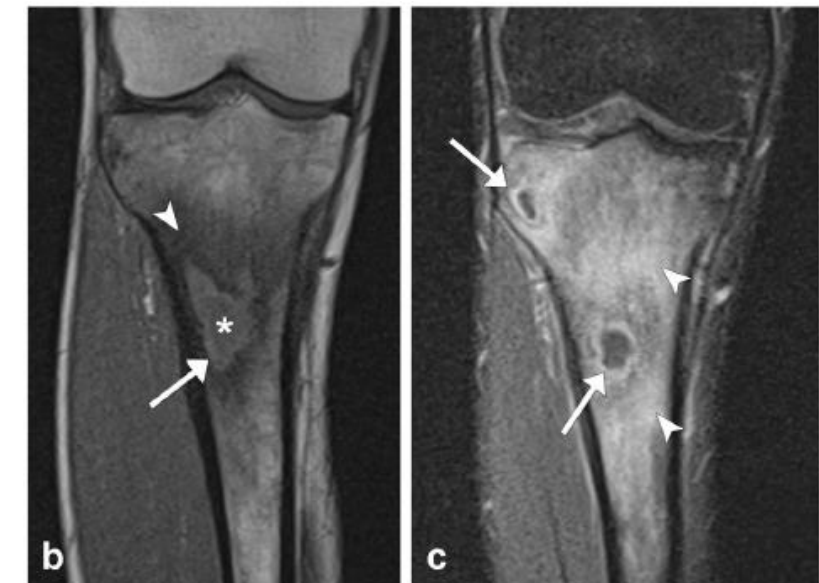
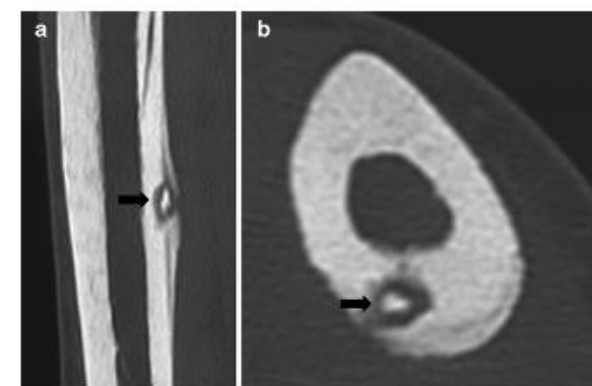
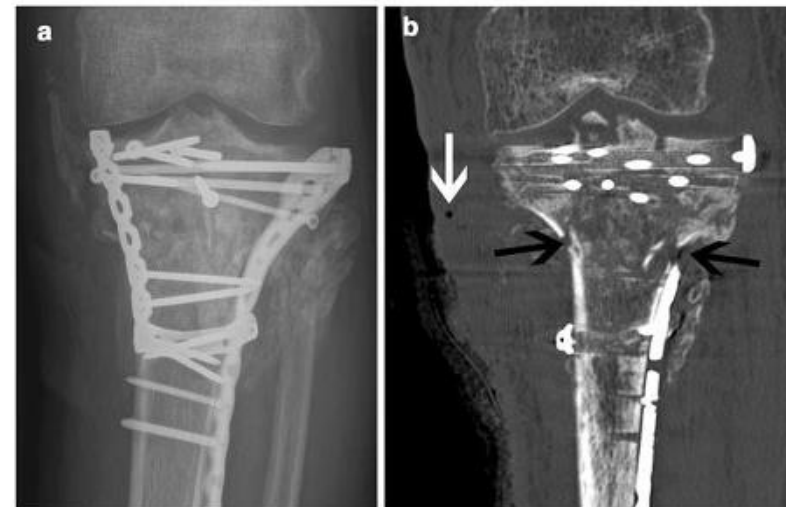
*P. aeruginosa*,  
Gram-negative bacteria,  
*Proteus* spp.



DIAGNÓSTICO  
RADIOLÓGICO



# RADIOLOGIA

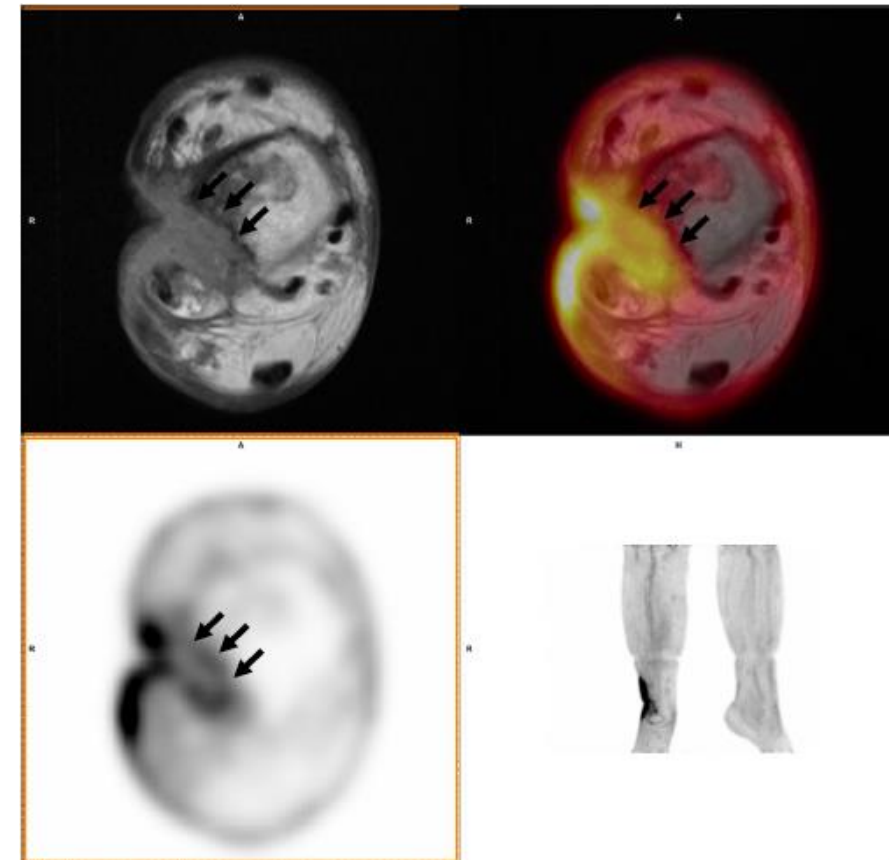
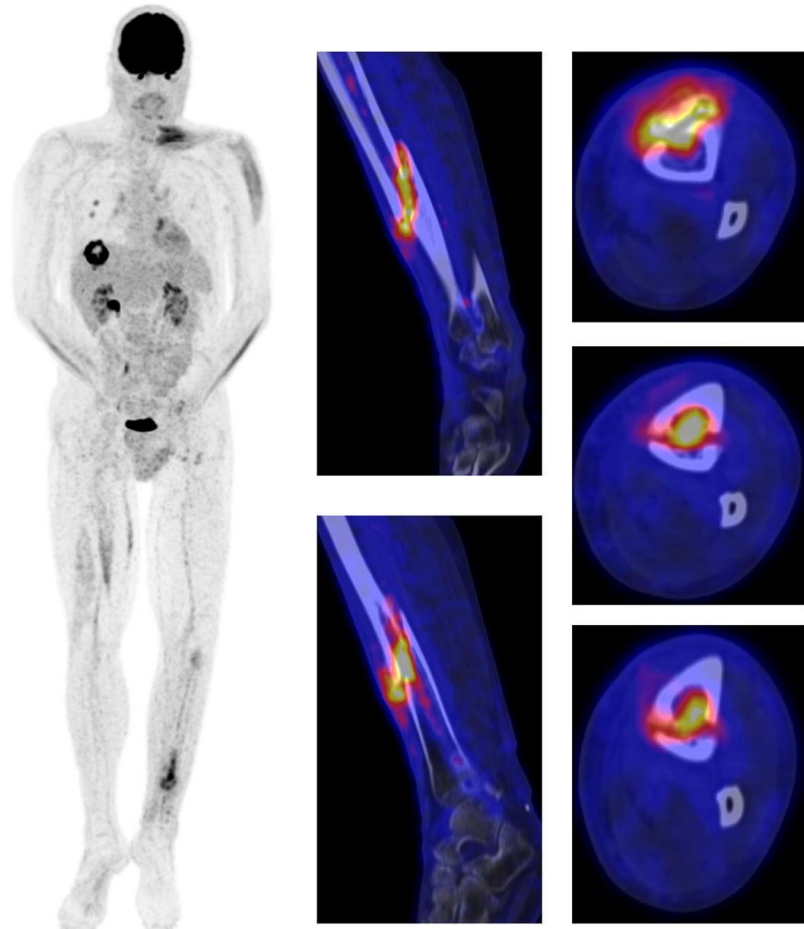


Butt WP. The radiology of infection. Clin Orthop Relat Res. 1973 Oct;(96):20-30

Peel TN. Imaging in osteoarticular infection in adults. Clin Microbiol Infect. 2023; S1198

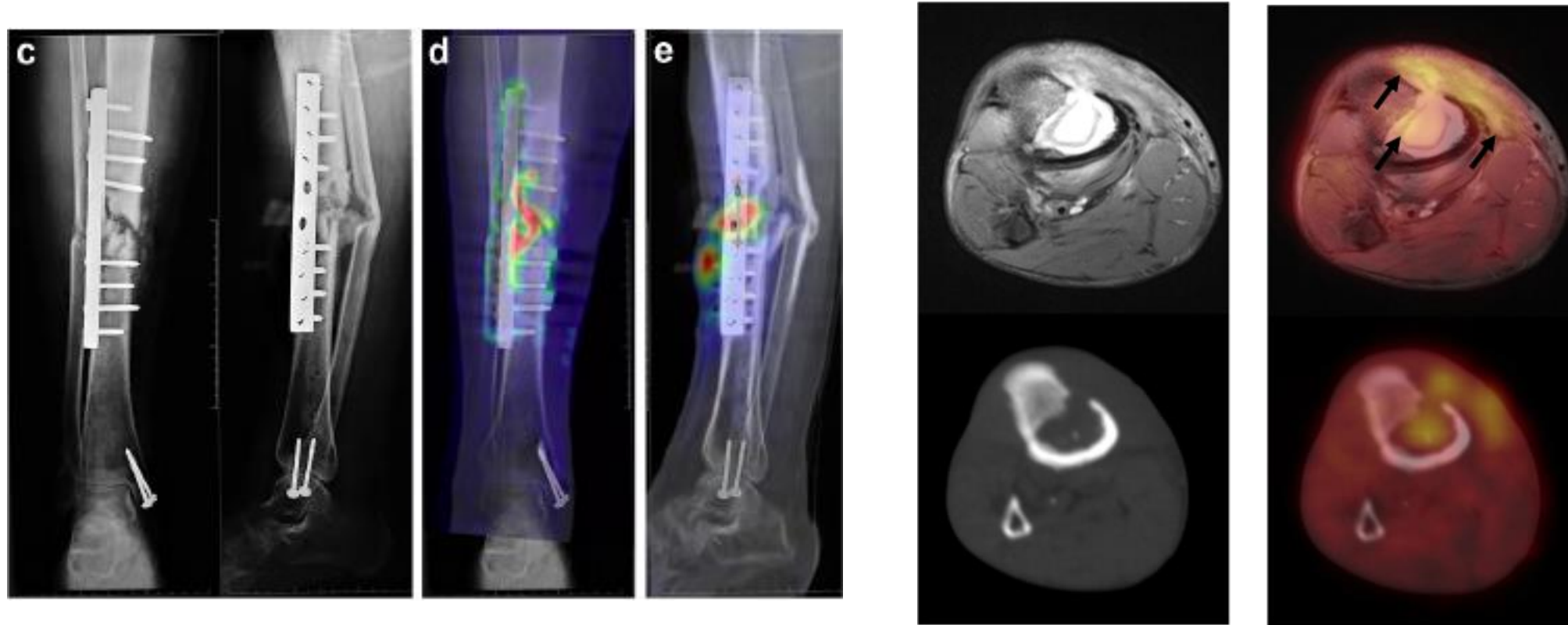
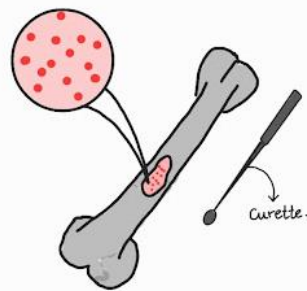
Crim J. Update on MRI findings of osteomyelitis of long bones in the adult population. Skeletal Radiol. 2022; 51(9):1787-1796

# PRUEBAS DE IMAGEN HÍBRIDAS PET-TAC & PET-RMN



Wenter V. The diagnostic value of [(18)F]FDG PET for the detection of chronic osteomyelitis and implant-associated infection. Eur J Nucl Med Mol Imaging. 2016;43(4):749-61

# PRUEBAS DE IMAGEN HÍBRIDAS PLANIFICACIÓN QUIRÚRGICA



A dark blue, slightly out-of-focus microscopic image showing various microorganisms, including several spherical cells and a long, thin, curved rod-shaped bacterium.

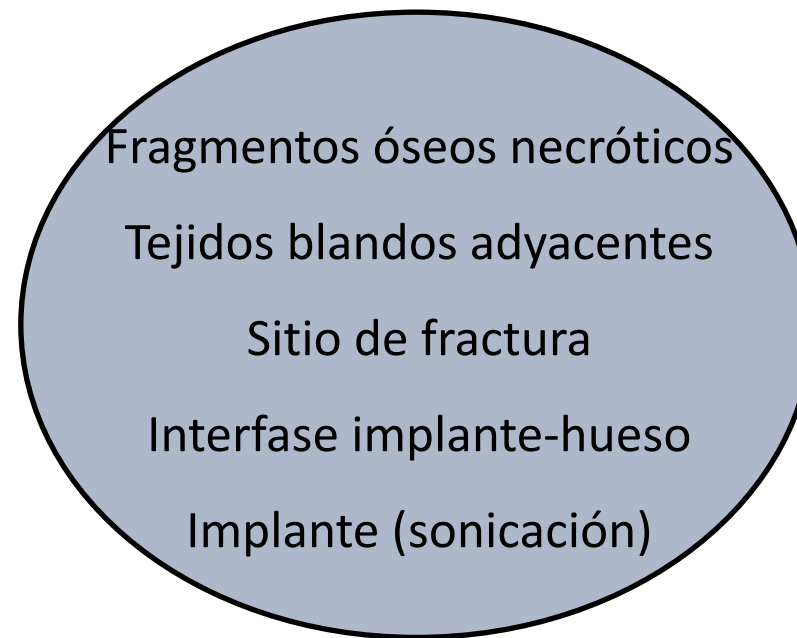
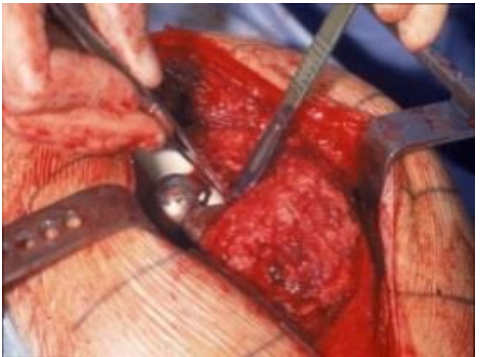
# DIAGNÓSTICO MICROBIOLÓGIC O

# DIAGNÓSTICO MICROBIOLÓGICO

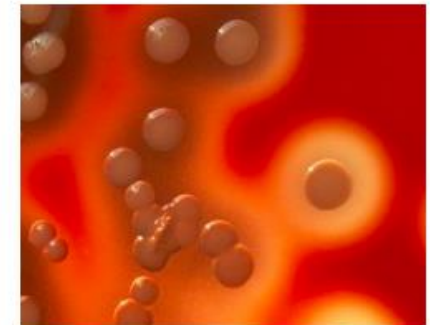
## MUESTRAS INTRAOPERATORIAS

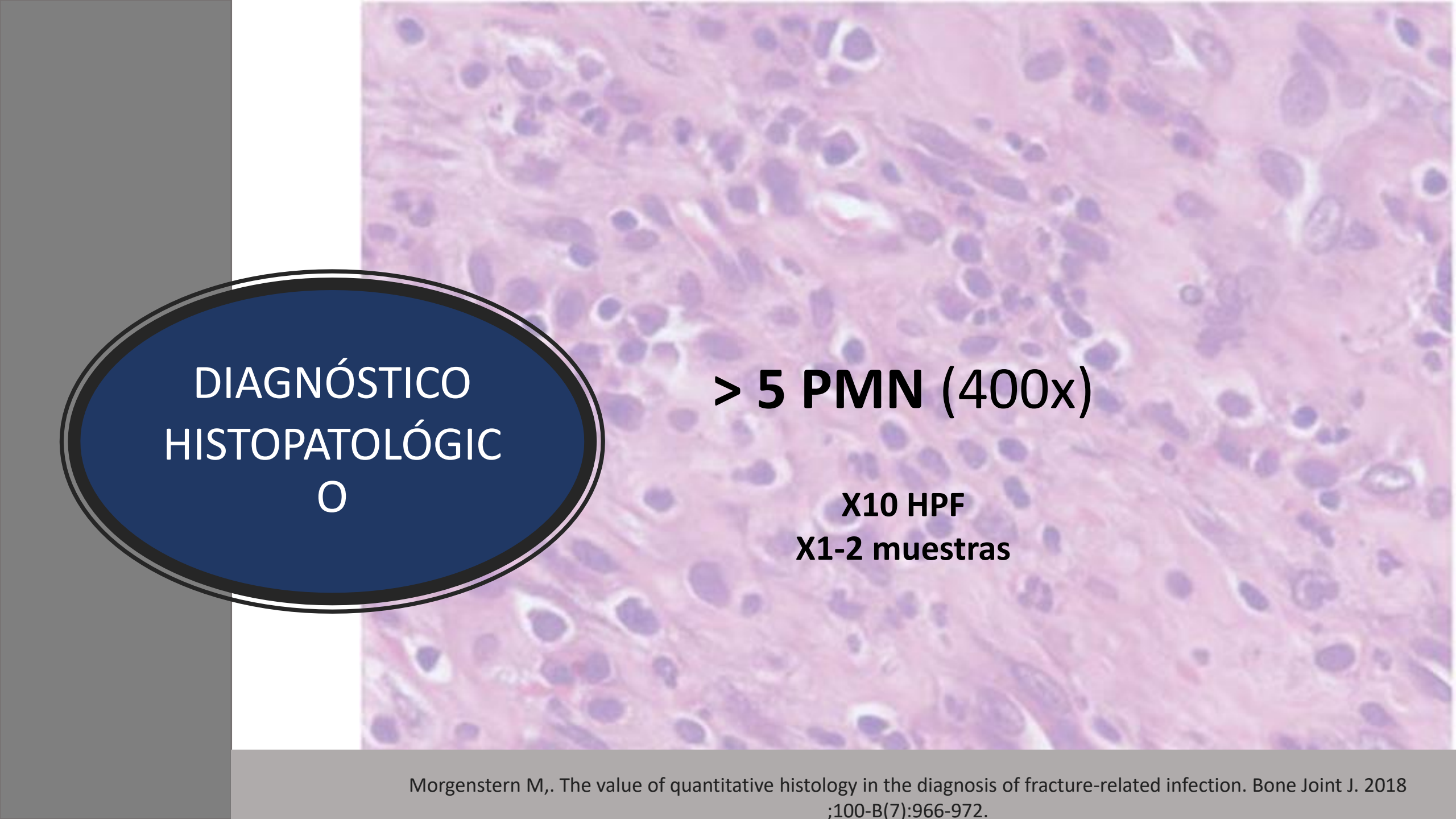
Suspender antibioterapia al menos 14 días antes

$\geq 5$  muestras



$\geq 2$   
mismo microorganismo





## DIAGNÓSTICO HISTOPATOLÓGIC O

> 5 PMN (400x)

X10 HPF

X1-2 muestras

# TRATAMIENTO MÉDICO



# ANTIBIOTERAPIA SISTÉMICA

REVIEW ARTICLE

Clin Pharmacokinet 2009; 48 (2): 89-124  
0312-5963/09/0002-0089/\$49.95/0

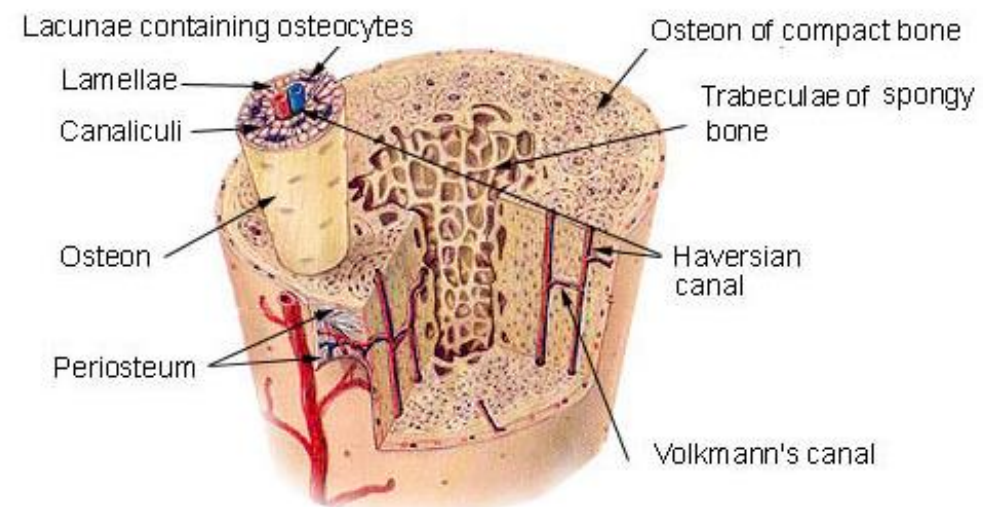
© 2009 Adis Data Information BV. All rights reserved.

## Penetration of Antibacterials into Bone

Pharmacokinetic, Pharmacodynamic and Bioanalytical Considerations

Medular>cortical

Buena (>30%/ <15%)	Difusión ósea <sup>1</sup> Moderada (15-30%)	Pobre
Fluoroquinolonas Linezolid Doxiciclina Cotrimoxazol Rifampicina	Clindamicina Glicopeptidos Cefalosporinas Fosfomicina Tazobactam Dalbavancina Oritavancina	Penicilina Clavulánico Metronidazol



# ANTIBIOTERAPIA SISTÉMIC<sup>+</sup>

Original Contribution

May 20, 1998

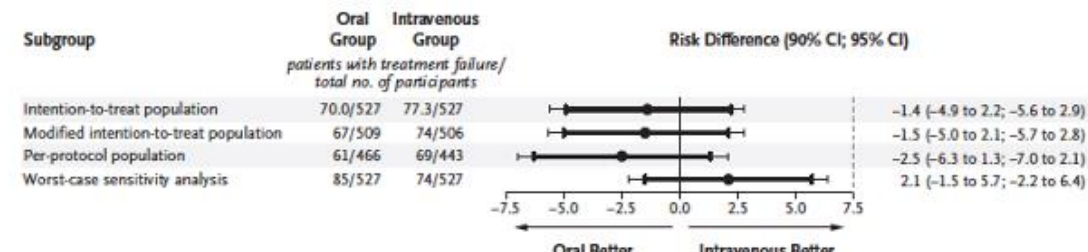
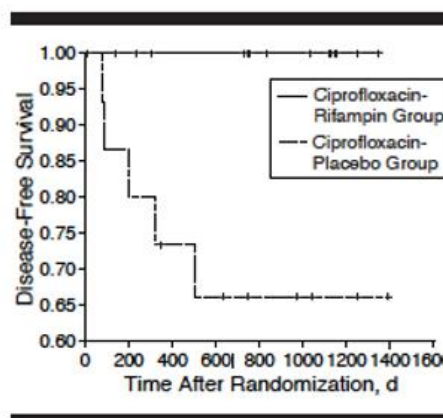
## Role of Rifampin for Treatment of Orthopedic Implant-Related Staphylococcal Infections

A Randomized Controlled Trial

Werner Zimmerli, MD; Andreas F. Widmer, MD, MSc; Marianne Blatter, MD; et al

» Author Affiliations

JAMA. 1998;279(19):1537-1541. doi:10.1001/jama.279.19.1537



# ANTIBIOTERAPIA SISTÉMICA

Secuenciación oral precoz ( $\leq 7$  días)

Uso de fármacos con elevada biodisponibilidad y difusión

ósea

(rifampicina, fluoroquinolonas, linezolid, cotrimoxazol, clindamicina, doxiciclina)

Añadir rifampicina en infecciones estafilocócicas

Priorizar fluoroquinolonas en infecciones por BGN

**LGP de acción prolongada (TAS, interacciones...)**

# DURACIÓN de la ANTIBIOTERAPIA SISTÉMICA EN LA OSTEOMIELITIS CRÓNICA

5 días



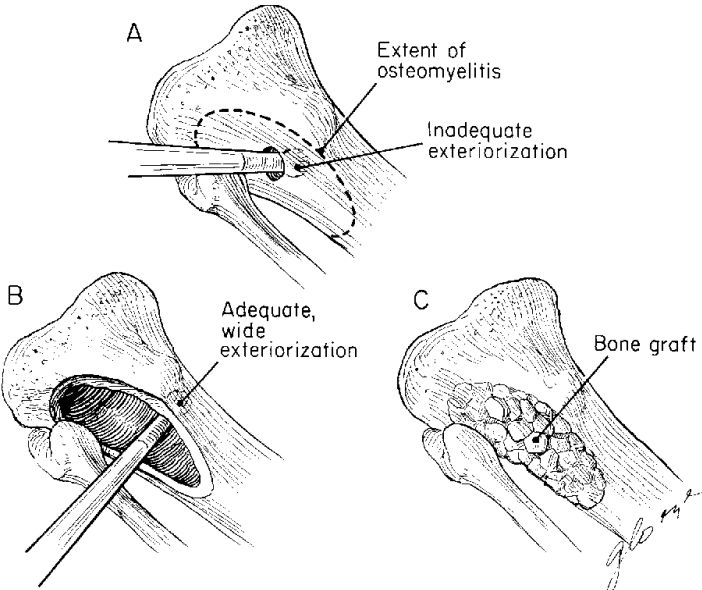
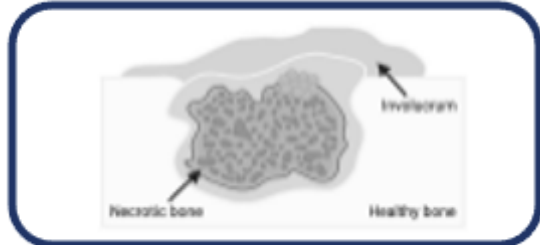
1-6



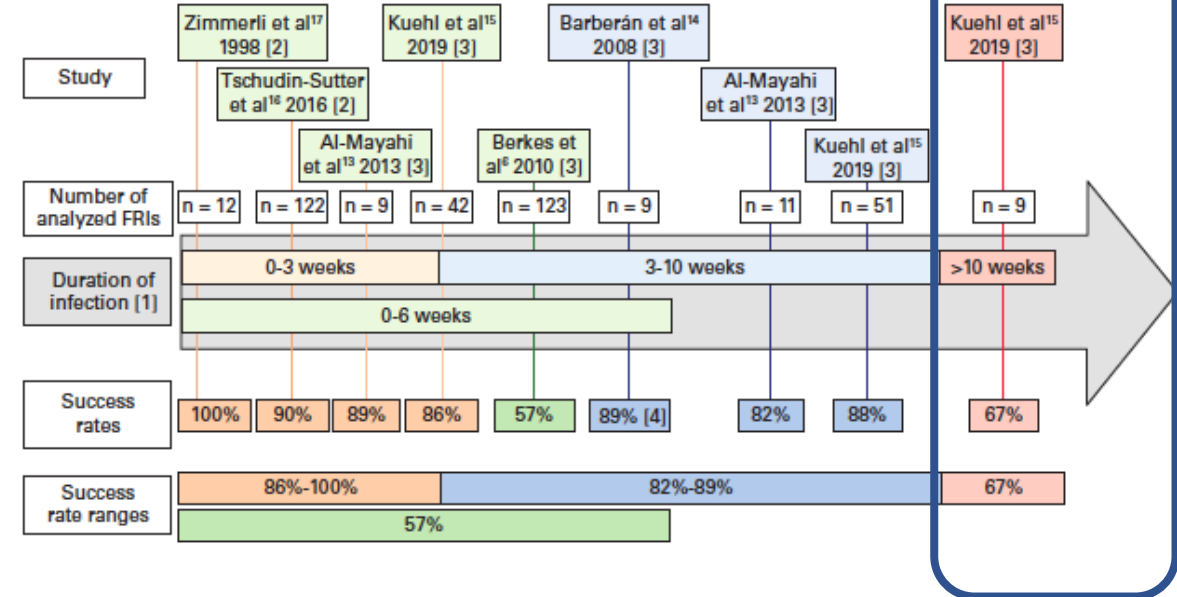
8-12 semanas



# RECURRENCIAS



30%



Morgernsten M. The influence of duration of infection on outcome of debridement and implant retention in fracture-related infection. Bone Joint J 2021;103-B(2):213-221.

Tice AD. Outcomes of osteomyelitis among patients treated with outpatient parenteral antimicrobial therapy. Am J Med. 2003;114:723-8.

Simpson A. Chronic Osteomyelitis. The effect of the extent of surgical resection on infection. J Bone Joint Surg Br. 2001;83-B(3):403-407.

# RECURRENCIAS

pH bajo

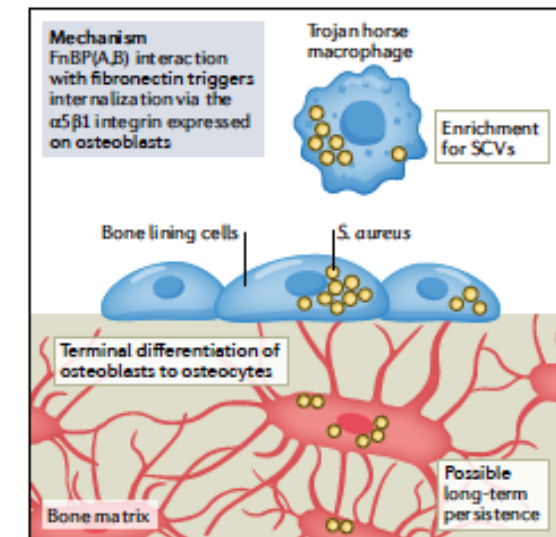
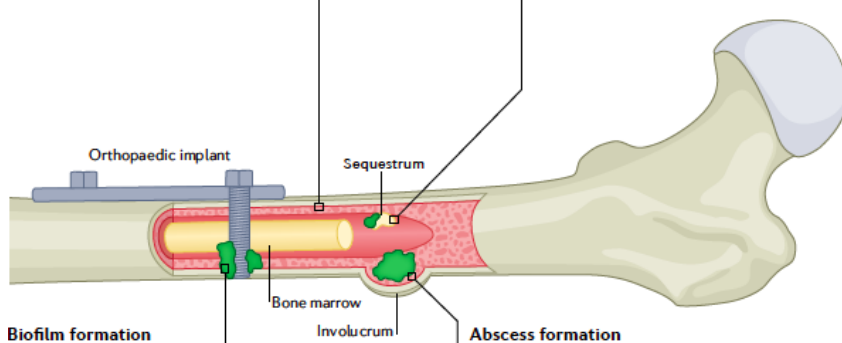
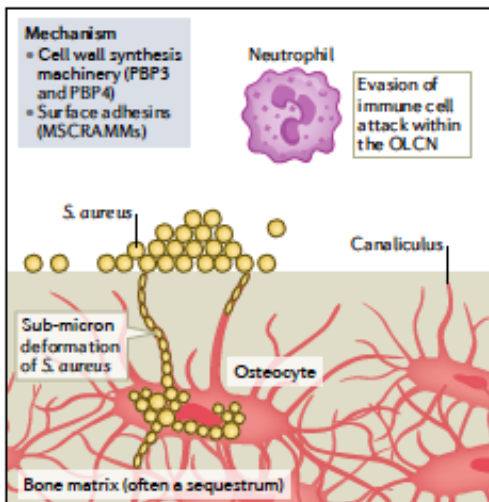
escasa disponibilidad de  
oxígeno y nutrientes

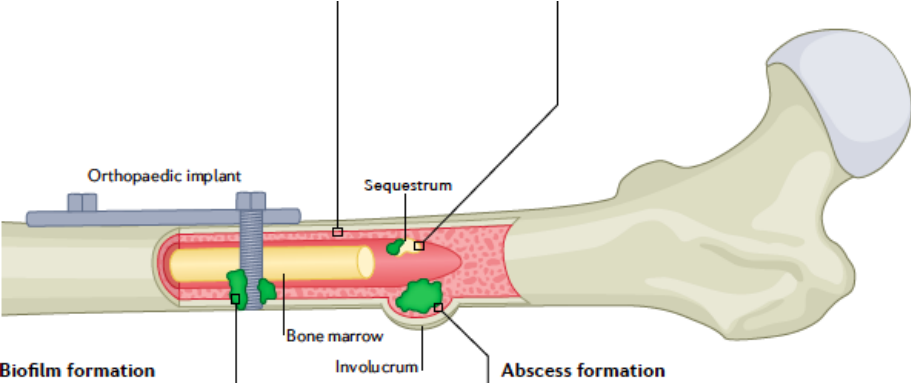
infección intracelular

invasion del OLCS

microabscesos

agregados sinoviales





En estas  
condiciones...

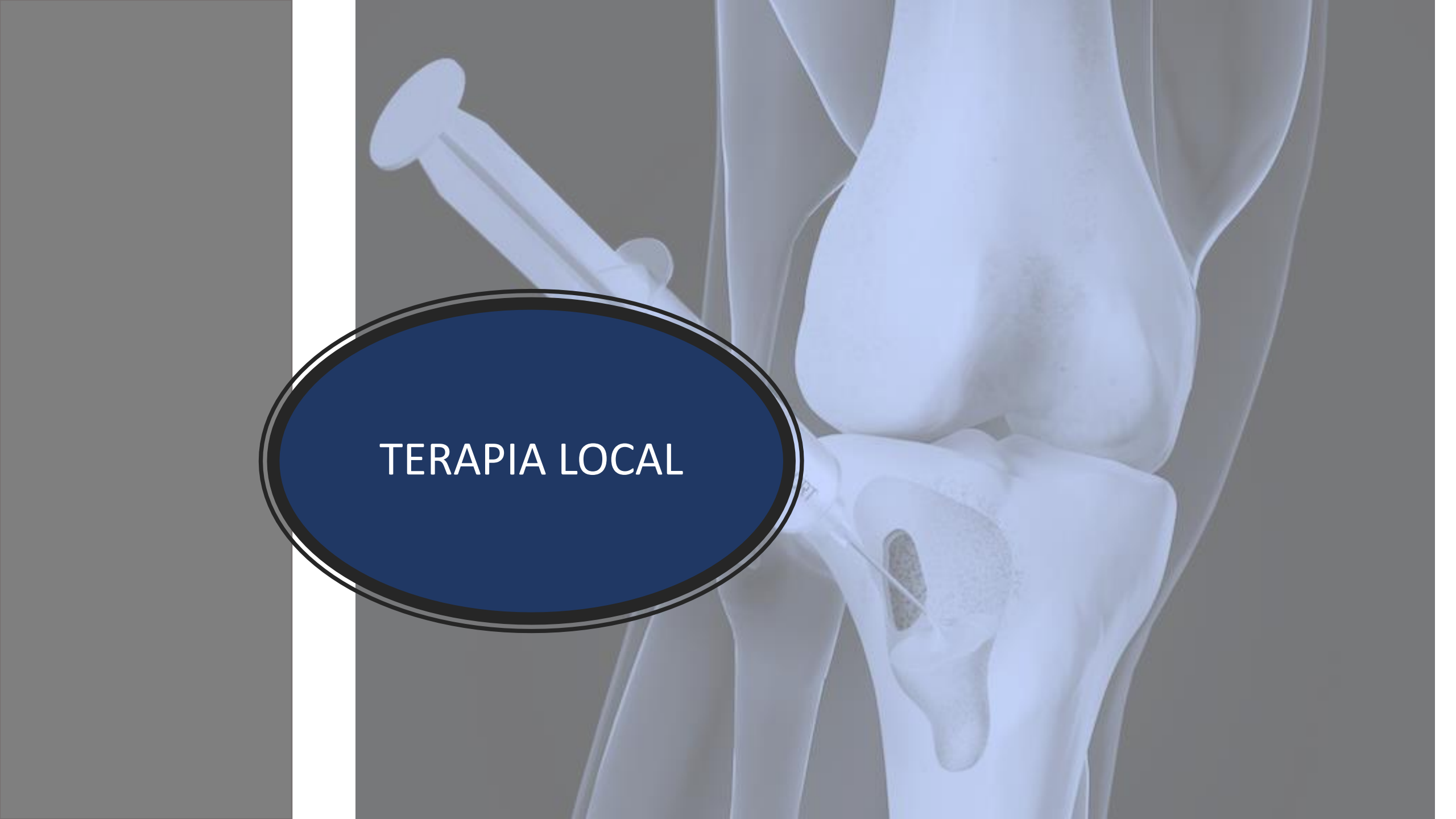
las concentraciones de antibióticos necesarias para erradicar  
la infección (**100-1000 x CMI**)

**NO** son alcanzables con una antibioterapia  
sistémica

Retirada de implantes  
Resecciones radicales

y/o

**ALTERNATIVAS**  
a la antibioterapia  
sistémica



TERAPIA LOCAL

# ¿DE QUE ESTAMOS HABLANDO?

Antibióticos  
locales

Alternativas  
terapéuticas  
a los  
antibióticos

liberación sostenida  
concentración adecuada  
biodegradable

Limitar duración antibioterapia  
sistémica  
Acto quirúrgico único

TERAPIA LOCAL

Sustitutos óseos  
Nanomateriales

# TERAPIA LOCAL



# SUSTITUTOS ÓSEOS

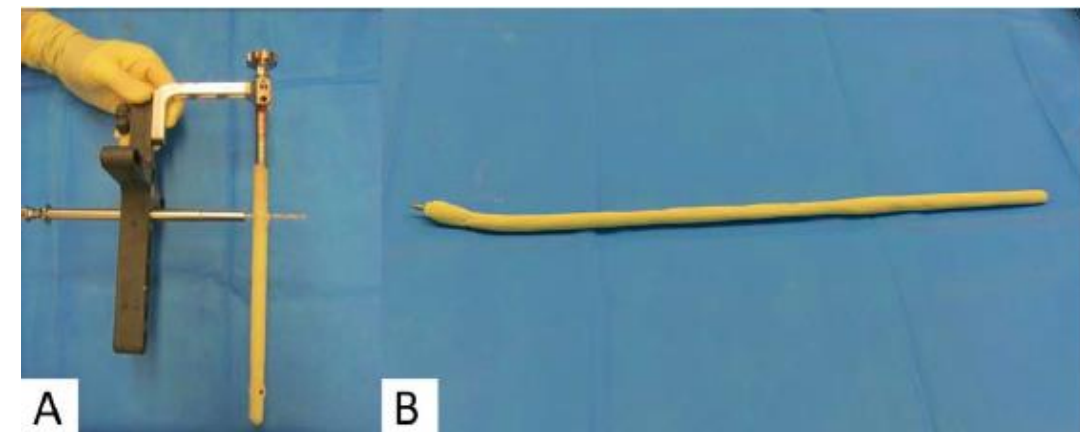
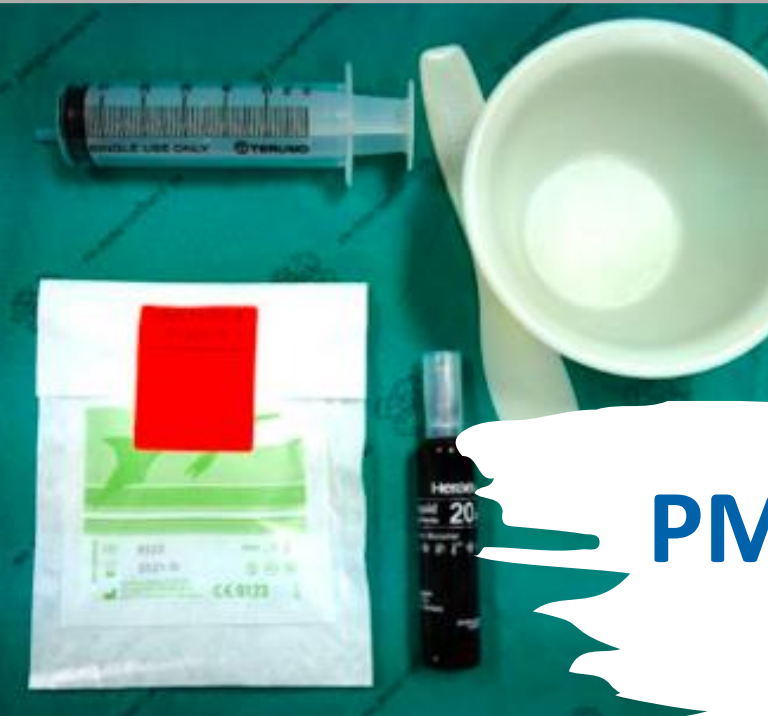
**cementos óseos (PMMA)**  
**cerámicas biodegradables**  
**cristales bioactivos**

biocompatibles  
estables  
mecánicamente  
porosos  
permeables  
biodegradables

**Sustitutos óseos<sup>Atb</sup>**

ausencia de toxicidad  
sistémica  
ausencia de toxicidad local  
estabilidad térmica

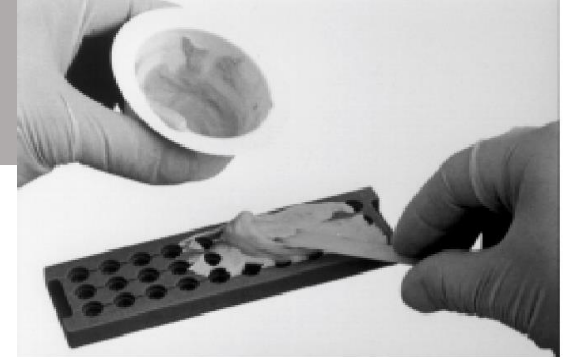
# CEMENTOS ÓSEOS-PMMA



CHARNLEY J. Anchorage of the femoral head prosthesis to the shaft of the femur. J Bone Joint Surg Br. 1960  
Buchholz HW. Infection prevention and surgical management of deep insidious infection in total endoprosthesis]. Chirurg. 1972.

**PMMA** **Atb**

## NORMAS BÁSICAS



**PMMA**

**Atb**

Cambios en la viscosidad

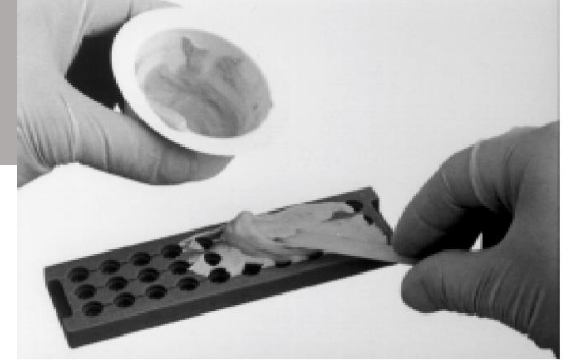
Alteración de la rigidez

Modificación de la  
resistencia mecánica

Forma de polvo

Hidrosolubles

Termoestables



## RECOMENDACIONES PRÁCTICAS

Normas generales para garantizar la estabilidad mecánica

≤ 4g Atb y  
<10% mezcla  
por  
40g PMMA

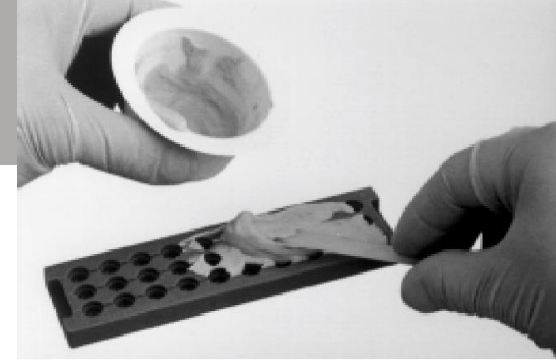
Evitar  
>2 Atb

Atb  
estériles  
en polvo

Priorizar  
preparados  
comerciales

vancomicina  
gentamicina  
tobramicina  
clindamicina

V + G  
V + T  
C + G



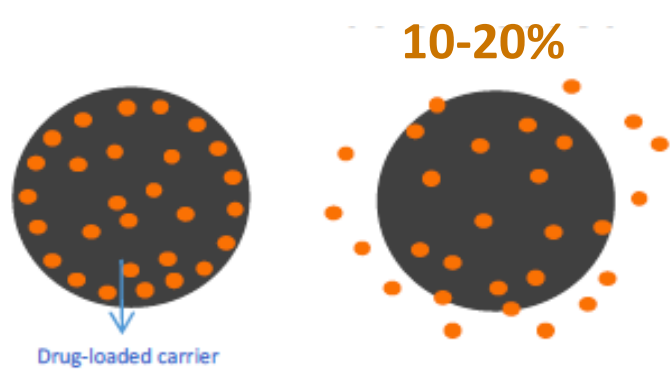
## Preparados caseros “off label”

Linezolid  
Daptomicina  
Fosfomicina  
  
Carbapenemes  
Ciprofloxacino  
Voriconazol

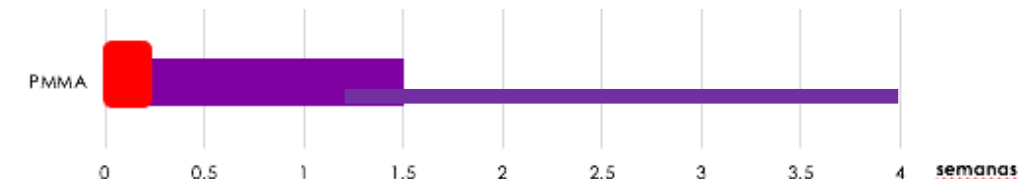
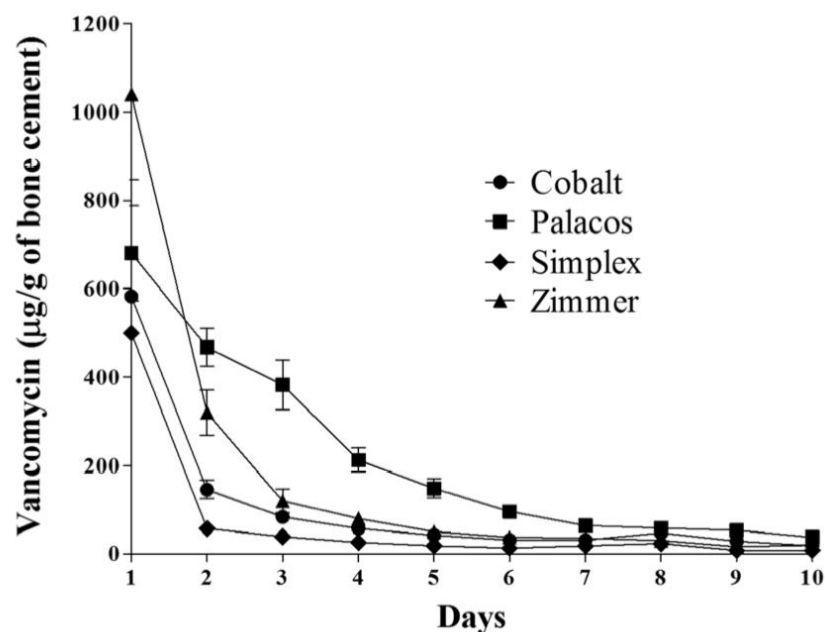
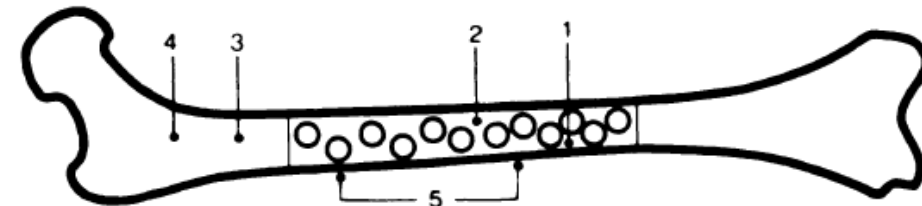
Cefalosporinas  
Tetraciclinas  
  
Rifampicina  
Metronidazo  
I  
Anfotericina

B

# LIBERACIÓN de antibióticos desde



PMMA



concentraciones subterapéuticas  
?promoción de resistencias

Meeker DG. Comparative Study of Antibiotic Elution Profiles From Alternative Formulations of Polymethylmethacrylate Bone Cement. J Arthroplasty. 2019;

Wahlig H, et al. The release of gentamicin from polymethylmethacrylate beads. An experimental and pharmacokinetic study. J Bone Joint Surg Br. 1975;

# SUSTITUTOS ÓSEOS-PMMA



No es biodegradable

Cuerpo extraño

Sustrato para la biopelícula  
Requiere una segunda cirugía

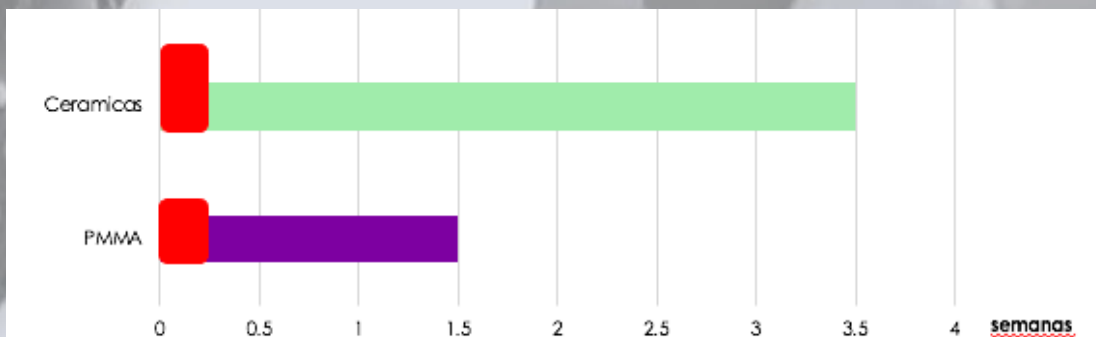


# CERÁMICAS BIODEGRADABLES

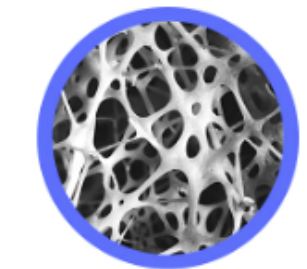
sulfato cálcico



tobramicina\*  
gentamicina\*  
vancomicina\*



sulfato cálcico +  
hidroxiapatita



Matrices



gentamicina\*  
vancomicina\*



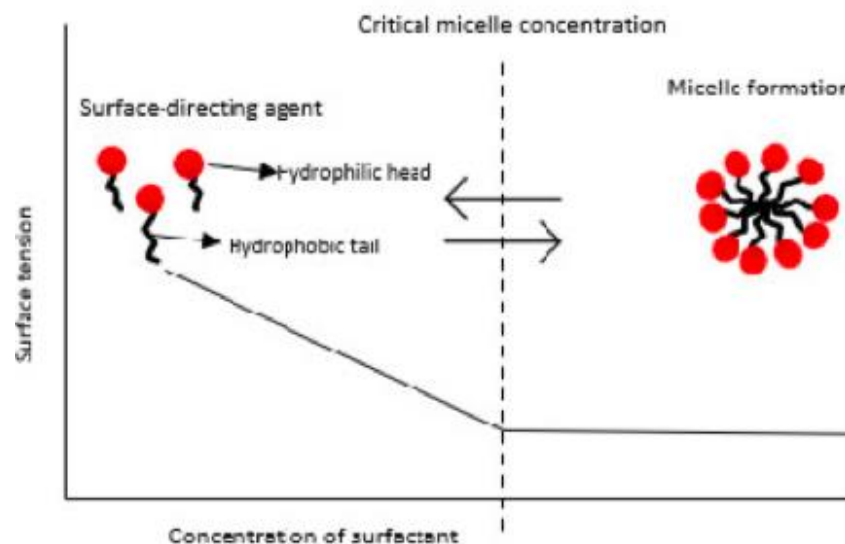
Ferguson JY. . The use of a biodegradable antibiotic-loaded calcium sulphate carrier containing tobramycin for the treatment of chronic osteomyelitis: a series of 195 cases. Bone Joint J. 2014.

Levack AE.. Identifying alternative antibiotics that elute from calcium sulfate beads for treatment of orthopedic infections. J Orthop Res. 2022.

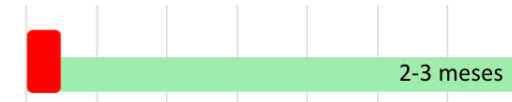
# CERÁMICAS BIODEGRADABLES



## Cristales bioactivos BAG-S53P4<sup>Atb</sup>



tobramicina  
vancomicina  
doxiciclina



Szewczyk A. Mesoporous Silica-Bioglass Composite Pellets as Bone Drug Delivery System with Mineralization Potential. Int J Mol Sci. 2021

Mistry S. Biological analysis of an innovative biodegradable antibiotic eluting bioactive glass/gypsum composite bone cement for treating experimental chronic MRSA osteomyelitis. J Pharm Anal. 2022

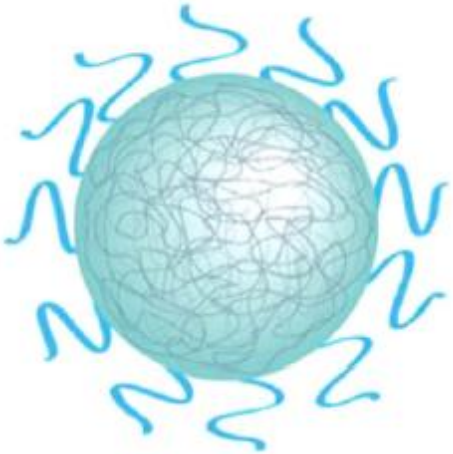
Almasri D. Prosthetic Joint Infections: Biofilm Formation, Management, and the Potential of Mesoporous Bioactive Glass as a New Treatment Option. Pharmaceutics. 2023

# Nanomateriales Atb

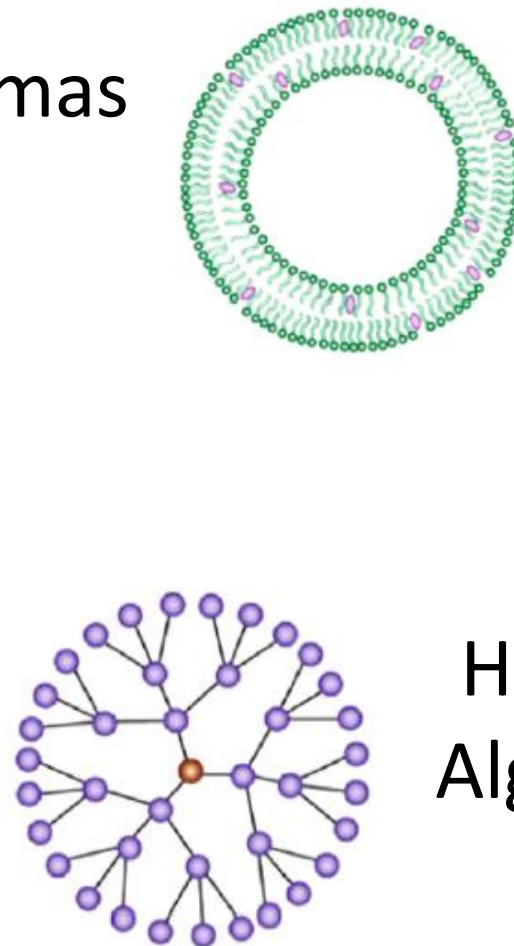
- **Gran superficie de contacto**
- **Optimización liberación Atb (hidrofílicos o lipofílicos)**
- **Actividad antimicrobiana intrínseca (metales, chitosán)**
- **Dianas específicas**
- **Potencial actividad intracelular**
- **Muchos son biodegradables**

# Nanomateriales<sup>Atb</sup>

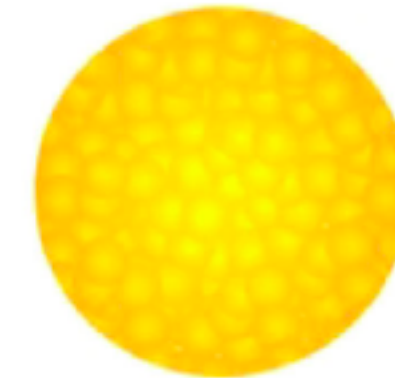
Liposomas



Nanopartículas Poliméricas  
(PLGA, PEG,  
chitosán)



Hidroxiapatita  
Alginato cálcico  
Silicio  
mesoporoso



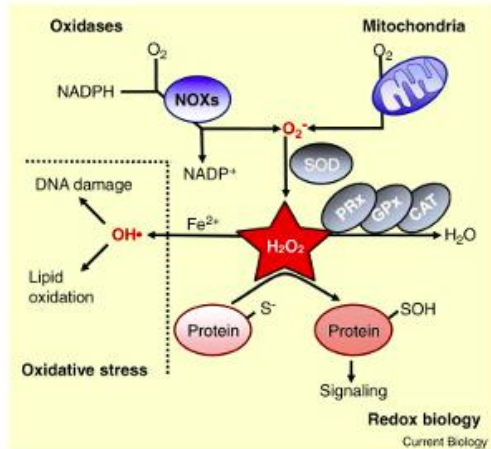
Metales  
(plata, titanio)



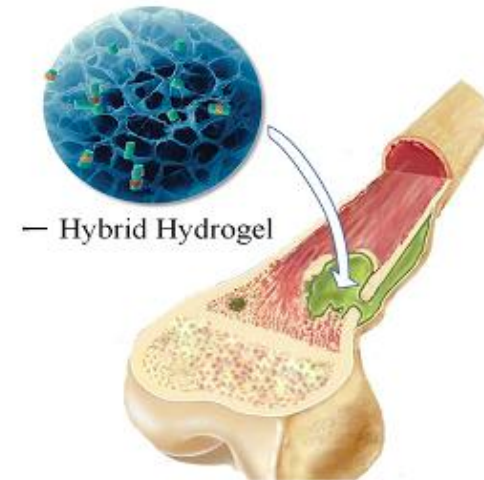
Fibroína (seda)

# Nanomateriales Limitaciones

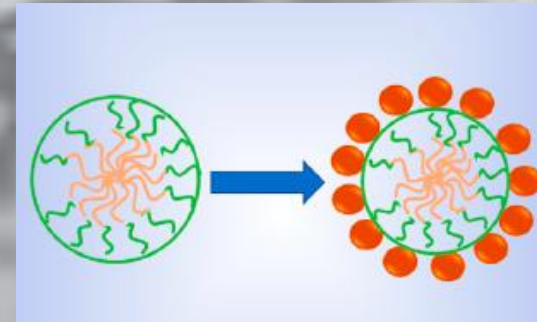
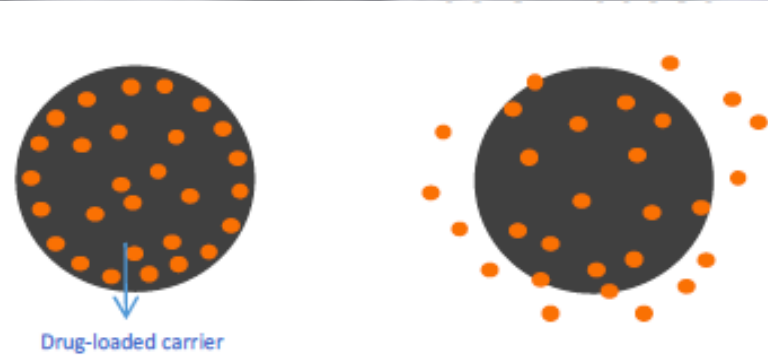
## Toxicidad nanopartículas metálicas



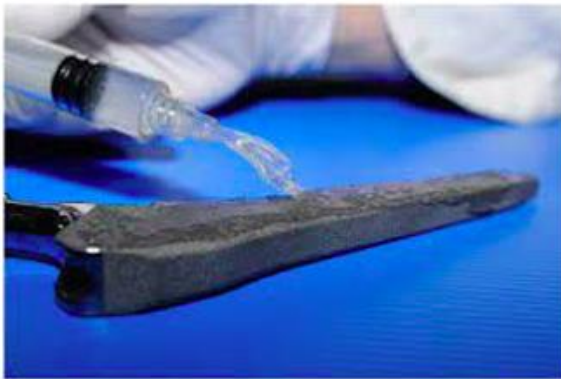
## Transporte Hidrogeles



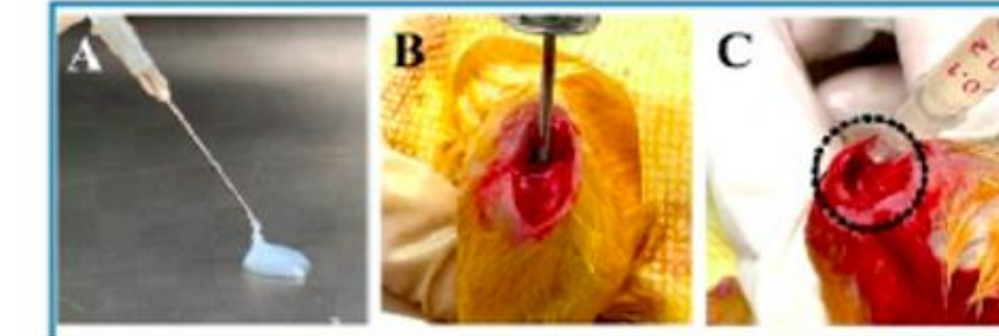
# Hidrogeles



## Profilaxis



## Tratamiento



D'Este M. An Antibiotic-Loaded Hydrogel Demonstrates Efficacy as Prophylaxis and Treatment in a Large Animal Model of Orthopaedic Device-Related Infection. *Front Cell Infect Microbiol.* 2022;12:826392.

Zhang P., Vancomycin-loaded silk fibroin microspheres in an injectable hydrogel for chronic osteomyelitis therapy. *Front Bioeng Biotechnol.* 2023 ;11:1163933



**"Penicillin can never do what surgery can do"**

WINGFIELD-MORRIS HOSPITAL. FIELDEN WARD.

V 437 *[Signature]*